

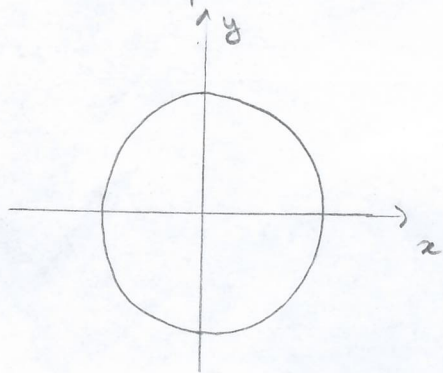
CURVE IN \mathbb{R}^n

Consideriamo $\pi: I \rightarrow \mathbb{R}^n$ continua, dove $I \subset \mathbb{R}$ è un intervallo e indichiamo con $J = \text{Im}(\pi) =$ l'immagine di I attraverso π

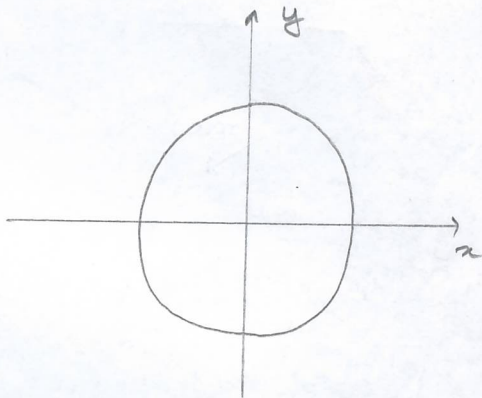
Def: Si dice curva in \mathbb{R}^n , la coppia $(J, \pi(t))$, $t \in I \subset \mathbb{R}$

- π è la parametrizzazione della curva \rightarrow info cinematiche (velocità, accelerazione,..)
- J è il cordeggio della curva \rightarrow info geometriche (brettoria).

Oss: Ovviamente lo stesso cordeggio J può essere associato a diverse parametrizzazioni.



$$\begin{aligned} \pi: [0, 2\pi] &\rightarrow \mathbb{R}^2 \\ t &\mapsto (\cos t, \sin t) \end{aligned}$$



$$\begin{aligned} \tilde{\pi}: [0, \pi] &\rightarrow \mathbb{R}^2 \\ t &\mapsto (\cos(2t), \sin(2t)) \end{aligned}$$

$J = \text{Im}(\pi) = \text{Im}(\tilde{\pi}) =$ circonferenza unitaria.

A seconda delle loro proprietà, possiamo dare una classificazione delle curve

▷ chiuse

Def: ① Sia $\pi: I = [a, b] \rightarrow \mathbb{R}^n$ allora diciamo che la curva è chiusa se $\pi(a) = \pi(b)$

② Sia $\pi: I \rightarrow \mathbb{R}^n$ allora diciamo che la curva è semplice se π è iniettiva su \dot{I} (insieme dei punti interni di I) e $\pi(a) \neq \pi(b)$ non appartengono a $\pi(\dot{I})$.

Oss: Curve semplici non chiuse non hanno auto-intersezioni

③ Oss: Se rivediamo le sole continuità ci possiamo ricavare \rightarrow con oggetti geometrici che sono lontani dalle nozioni intuitive motivazionali del concetto di curva regolare

d'urne. Ad esempio le cui dette urne di Peano

$x: [0,1] \rightarrow \mathbb{Q}$ = quodato continua e suriettiva (ma non differenziabile).

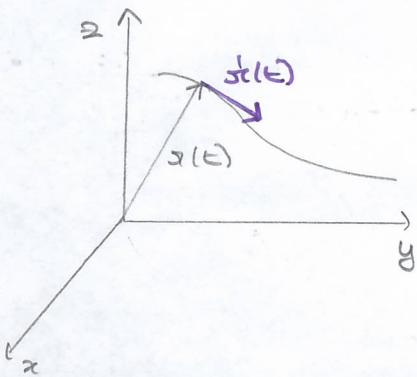


la cui costruzione esplicita utilizza l'insieme di Cantor.

Una curva $x: I \rightarrow \mathbb{R}^n$ si dice regolare se $x \in C^1(I)$ e se $\dot{x}(t) \neq 0 \quad \forall t \in I$.

Si dice regolare o bratti se I si può suddividere nell'unione di un numero finito di intervalli su ciascuno dei quali x è regolare. I punti su $t.c.$ simili si dicono punti singolari.

- (3a) Sia $x: I \rightarrow \mathbb{R}^n$ una curva regolare
 $t \mapsto (x_1(t), \dots, x_n(t))$ allora possiamo definire
- $\dot{x}(t) = (\dot{x}_1(t), \dots, \dot{x}_n(t))$ il vettore tangente
 - $\tau(t) = \dot{x}(t) / \| \dot{x}(t) \|$ la versore tangente



- La retta tangente alla curva x nel punto $x(t_0)$ è
 - Equazione vettoriale $f(t) = x(t_0) + \dot{x}(t_0) \cdot t$
 - Equazioni parametriche $\begin{cases} f_1(t) = x_1(t_0) + \dot{x}_1(t_0) \cdot t \\ f_n(t) = x_n(t_0) + \dot{x}_n(t_0) \cdot t \end{cases}$

Interpretazione fisica: $\dot{x}(t)$ rappresenta il vettore velocità.

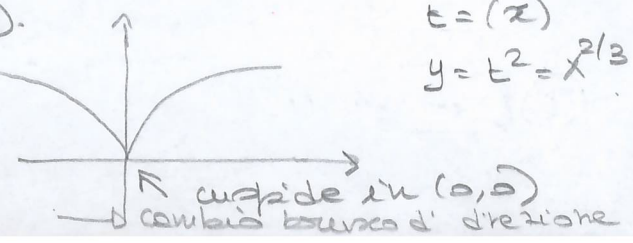
Chiameremo velocità scalare $v(t) = \| \dot{x}(t) \| = \sqrt{\dot{x}_1(t)^2 + \dots + \dot{x}_n(t)^2}$

Se la curva è anche $C^2(I)$ allora possiamo definire il vettore accelerazione $\ddot{x}(t)$ e $a(t) = \| \ddot{x}(t) \|$ il suo modulo

Problema: Cosa succede alle traiettorie diurne $C^1(I)$ ma per le quali la velocità è nulla in un punto? (quindi curve non regolari).

→ es. $x: \mathbb{R} \rightarrow \mathbb{R}^2$
 $t \mapsto (t^3, t^2)$

$$\dot{x}(t) = (3t^2, 2t), \dot{x}(0) = (0, 0)$$



la velocità è continua ma il mobile cambia bruscamente
direzione in corrispondenza dell'origine che è punto singolare.

Inoltre questo è un esempio di curva regolare a lacche.

Ancuni esempi:

1. Segmento di retta su \mathbb{R}^n

$$x: [0,1] \rightarrow \mathbb{R}^n$$

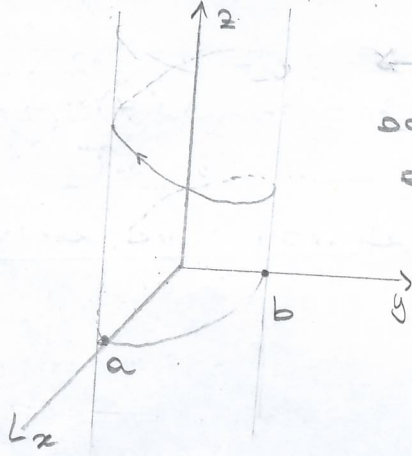
$$t \mapsto x(t) = x_0 + t(x_1 - x_0), \quad x_0, x_1 \in \mathbb{R}^n$$

2. Elise cilindrica infinita (a sezione ellittica).

$$x: \mathbb{R} \rightarrow \mathbb{R}^3$$

è una curva semplice

$$t \mapsto (a \cos t, b \sin t, ct) \quad a, b, c \in \mathbb{R}^+$$



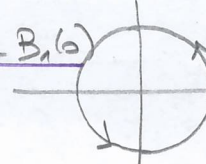
La curva si snoda attorno ad un cilindro a sezione ellittica.

Dopo un periodo 2π c'è un innalzamento di quota di $2\pi c$

presso l'elise.

3. $x: [0, 6\pi] \rightarrow \mathbb{R}^2$ circonferenza $B_1(6)$

$$t \mapsto (\cos t, 6\sin t)$$



$$6\pi = 3 \times 2\pi$$

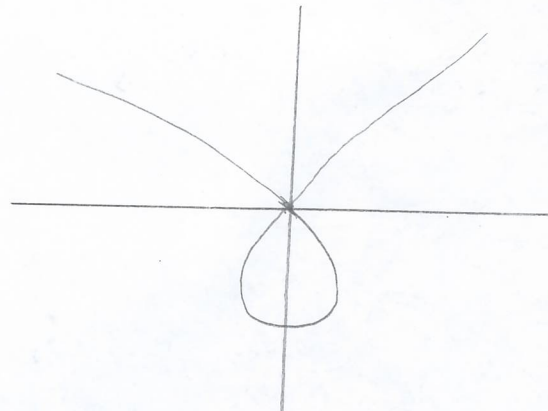
3 giri

è una curva chiusa non semplice.

4. Sloppide

$$x: \mathbb{R} \rightarrow \mathbb{R}^2$$

$$t \mapsto (t^3 - t, t^2 - 1)$$



non è una curva semplice

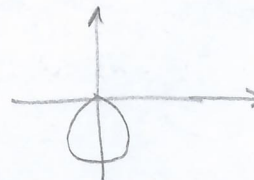
in quanto $\varphi(1) = \varphi(-1) = (0, 0)$

$$\dot{x}(t) = (3t^2 - 1, 2t) \rightarrow \text{è regolare}$$

la sua restrizione $\tilde{x}: [-1, 1] \rightarrow \mathbb{R}^2$ labbia di drofoide

$$t \mapsto (t^3 - t, t^2 - 1)$$

è una curva semplice e chiusa.



Def: Se il sostegno di una curva è contenuto in un piano allora la curva si dice piana.

Curve piane, semplici e chiuse si dicono curve di Jordan.

Ulteriore classificazione delle curve

④ Sia $f: I \rightarrow \mathbb{R}$ una funzione continua, allora la curva in forma parametrica $\gamma: I \rightarrow \mathbb{R}^2$ $t \mapsto (t, f(t))$

chiamata curva estensione e il suo sostegno è il grafico di f .

Le curve estensione sono semplici (hanno una componente, & prima, iniettiva)

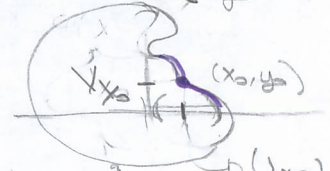
⑤ Sia $g: \Omega \subseteq \mathbb{R}^2 \rightarrow \mathbb{R}$ una funzione di classe C^1 tale per cui $\nabla g(x_0, y_0) \neq (0, 0)$ dove $(x_0, y_0) \in L_0(g) = \{(x, y) \in \Omega, g(x, y) = 0\}$.

Allora localmente (in un intorno del punto (x_0, y_0)) l'equazione $g(x, y) = 0$ definisce una curva estensione (γ, f) (si parametr., & supporto).

Infatti supponiamo ad esempio che $\partial g(x_0, y_0) \neq 0$, allora per il teorema del Dini (o teorema delle funzioni implicite) esistono due intorni U_{x_0} e V_{y_0} e una funzione $\varphi: U_{x_0} \rightarrow V_{y_0}$ di classe C^1 tale che

$$(g(x, \varphi(x))) = 0 \quad \forall x \in U_{x_0} \text{ e } y_0 = \varphi(x_0)$$

$$\underline{L_0(g)} \cap (U_{x_0} \times V_{y_0}) = \{\text{grafico di } \varphi\}$$



↳ linee di livello di $g \rightarrow \{ (x, y) \in \Omega : g(x, y) = 0 \}$

$\hookrightarrow x: I = U_{x_0} \rightarrow \mathbb{R}^2$ ($f = \text{supporto di } x = \{\text{grafico di } \varphi\} = L_0(g) \cap (U_{x_0} \times V_{y_0})$)

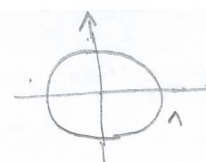
x è una curva regolare e semplice.

Ora: lo stesso ragionamento si può fare per le linee di livello $L_c(g) = \{(x, y) \in \Omega : g(x, y) = c\}$

basta definire $\tilde{g}(x, y) = g(x, y) - c$ e si risiede al caso precedente

Esempio: Considera $g: \mathbb{R}^2 \rightarrow \mathbb{R}$ di classe C^1
 $(x, y) \mapsto x^2 + y^2 - 1$

$$\text{Log} = \{(x,y) \in \mathbb{R}^2 : x^2 + y^2 - 1 = 0\} \rightarrow$$



(5)

$$\partial y g(x,y) = 2y \neq 0 \text{ se e solo se } y \neq 0$$

Infatti, se ad esempio $y > 0$:

$$\varphi: (-1,1) \rightarrow (0,1)$$

$$x \mapsto \sqrt{1-x^2}$$

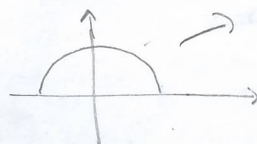


grafico di φ
e disegno delle
curve

definisce le nuove coordinate parametrizzate da $(x, \varphi(x))$ e d'insieme la mezza circonferenza superiore

Se $g: \Omega \subset \mathbb{R}^2 \rightarrow \mathbb{R}$ è classe C^1 e se $\nabla g(x,y) \neq 0 \quad \forall (x,y) \in \text{Lo}(g)$
allora $(g, \text{Lo}(g))$ è detta curna regolare in forme implicite.
Curve in forme polari

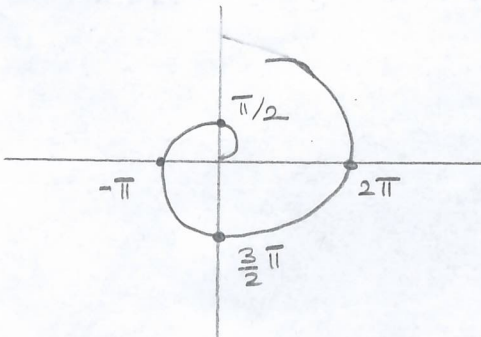
$$x: [\vartheta_0, \vartheta_1] \rightarrow \mathbb{R}^2$$

$$\vartheta \mapsto (\underbrace{g(\vartheta) \cos(\vartheta)}_{x(\vartheta)}, \underbrace{g(\vartheta) \sin(\vartheta)}_{y(\vartheta)})$$

con g continua,
 $g(\vartheta) > 0 \quad \forall \vartheta \in [\vartheta_0, \vartheta_1]$

definisce una curva in forma polare.

Esempio: $g(\vartheta) = \vartheta$ con $\vartheta \in \mathbb{R}^+$ definisce la spirale d'Archimede.



Una curva x in forma polare è di classe C^1 quando g lo è. Faccendo un po' di conti si vede che:

$\|\dot{x}(\vartheta)\| = \sqrt{g^2(\vartheta) + g'^2(\vartheta)}$, quindi x è regolare quando g e g' non si annullano mai contemporaneamente e sono strettamente positive se $g \in C^1$.

$g(\vartheta)$ è la distanza del punto $x(\vartheta), y(\vartheta)$ dall'origine.

Def: Due curve regolari

$\gamma_1: [\alpha, b] \rightarrow \mathbb{R}^n$, $\gamma_2: [\epsilon, d] \rightarrow \mathbb{R}^n$ si dicono equivalenti
se esiste una funzione $p: [\alpha, b] \rightarrow [\epsilon, d]$ di classe C^1 ,
sia detto $q(t) = p(t)$ con $p'(t) \neq 0$ e $t \in [\alpha, b]$ tale che
 $\gamma_1(t) = \gamma_2(p(t))$. (p è un diffeomorfismo).

Sarà $\gamma_1 \sim \gamma_2$.

Obs: Due curve equivalenti hanno lo stesso soddisfatto.

- Se $p' > 0$ allora $p(t)$ è crescente e quindi $p(\alpha) = c$ e $p(b) = d$
Si dice che γ_1 e γ_2 hanno lo verso
- Se $p' < 0$ allora $p(t)$ è decrescente e quindi $p(\alpha) = d$ e $p(b) = c$
Si dice che γ_1 e γ_2 hanno verso opposto.
- La relazione \sim è una relazione di equivalenza

Def: Data $\gamma_1: [\alpha, b] \rightarrow \mathbb{R}^n$ si può definire la curva γ_2 opposta
a γ_1 , in questo modo. Considero

$$\begin{aligned} f: [\alpha, b] &\rightarrow [\alpha, b] & f(\alpha) &= b \\ t &\mapsto a+b-t & f(b) &= a \\ && f'(t) &< 0 \end{aligned}$$

La curva $\gamma_2(t) = (\gamma_1 \circ f)(t) = \gamma_1(f(t)) = \gamma_1(a+b-t)$ si dice
curva opposta (cioè si invierte il verso di percorrenza).

Teorema

Se due curve γ_1 e γ_2 sono equivalenti e hanno lo stesso verso, allora
loro versi tangenti corrispondono.

$$\text{dim: } \gamma_1'(t) = \frac{\dot{\gamma}_1(t)}{\|\dot{\gamma}_1(t)\|} = \frac{\dot{\gamma}_2(q(t)) \cdot q'(t)}{\|\dot{\gamma}_2(q(t))\| \|q'(t)\|} = \frac{\dot{\gamma}_2(q(t))}{\|\dot{\gamma}_2(q(t))\|} = \gamma_2'(t)$$

□

Diamo una generalizzazione di curva opposta.

Problema: Voglio trasformare una curva regolare

$$\gamma: [\alpha, b] \rightarrow \mathbb{R}^n$$

$$\tilde{\gamma}: [\alpha, \beta] \rightarrow \mathbb{R}^n$$



Mantenendo il soddisfatto ma cambiando verso e
dominio di definizione

Allora definendo

$$\varphi: [\alpha; \beta] \rightarrow [a, b]$$

$$t \longmapsto \frac{b-a}{\beta-\alpha} \cdot t + \frac{\beta b - \alpha a}{\beta - \alpha}$$

$$\varphi'(t) = -\frac{b-a}{\beta-\alpha} < 0 \quad \varphi(\alpha) = b \quad \varphi(\beta) = a$$

Inoltre la nuova curva $\tilde{x}(z) = (x \circ \varphi)(z)$ è regolare.

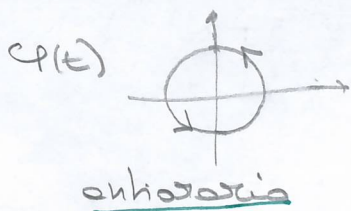
Ex. Consideriamo le due curve in \mathbb{R}^2

$$\begin{cases} \varphi_1(t) = \cos t \\ \varphi_2(t) = \sin t \end{cases} \quad t \in [0, 2\pi]$$

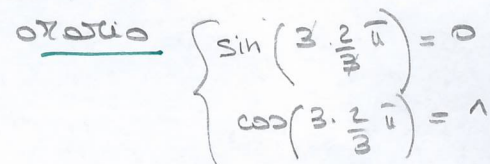
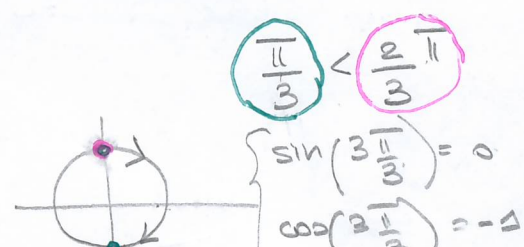
$$\begin{cases} 4\varphi_1(\theta) = \sin(3\theta) \\ 4\varphi_2(\theta) = \cos(3\theta) \end{cases} \quad \theta \in [\pi/6, 5\pi/6]$$

Facciamo vedere che sono curve equivalenti.

- Hanno lo stesso assegno, ovvero la medesima unitaria d'origine
- Hanno versi di biconcavità opposti



$$4\varphi(t)$$



Cerchiamo un diffeomorfismo

$$\varphi: [0, 2\pi] \rightarrow [\pi/6, 5\pi/6] + c$$

$$4\varphi(\varphi(t)) = \varphi(t) \quad \varphi(t) = \theta \quad \varphi'(t) < 0 \quad \varphi(0) = \frac{\pi}{6}, \varphi(2\pi) = \frac{5\pi}{6}$$

Provo in questo modo... (*)
 $\cos(t) = \sin(3t) = \sin(3\varphi(t)) = \cos\left(\frac{\pi}{2} - 3\varphi(t)\right)$

$$t = \frac{\pi}{2} - 3\varphi(t) \quad 3\varphi(t) = \frac{\pi}{2} - t \quad \varphi(t) = \frac{\pi}{6} - \frac{t}{3}$$

$$\varphi(0) = \frac{\pi}{6} \quad \text{e} \quad \varphi(2\pi) = \frac{\pi}{6} - \frac{2\pi}{3} = \frac{1-4\pi}{6} = -\frac{3\pi}{6} = -\frac{\pi}{2}$$

NON vanno bene! Cerchiamo di adattare...

Perciò mi guardo che $\sin(3t)$ è una funzione periodica

d'periodo $\frac{2\pi}{3}$ quindi in (*) posso scrivere

$$\sin\left(3\left(\varphi(t) + \frac{2k\pi}{3}\right)\right) = \sin(3\varphi(t)) \quad \text{con } k \in \mathbb{Z}$$

Allora definisco $\tilde{\varphi}(t) = \varphi(t) + \frac{2k\pi}{3}$ e cerco k t.c.

$$\begin{aligned} p(0) &= \frac{\pi}{6} & p(2\bar{u}) &= \frac{\pi}{6} \\ p(\bar{u}) &= p(0) + \frac{2}{3} k\pi = \frac{\pi}{6} + \frac{2}{3} k\pi & \downarrow \text{imposta} \\ p(2\bar{u}) &= p(2\bar{u}) + \frac{2}{3} \cdot \frac{1}{2} = -\frac{\pi}{2} + \frac{2}{3} \pi = \frac{\pi}{6} & \checkmark \end{aligned}$$

$\uparrow \quad \downarrow \quad k=\Delta$

Dunque il diffeomorfismo cercato è

$$\tilde{f}(t) = \frac{\pi}{6} - \frac{t}{3} + \frac{2}{3}\pi = \frac{5}{6}\pi - \frac{t}{3}$$

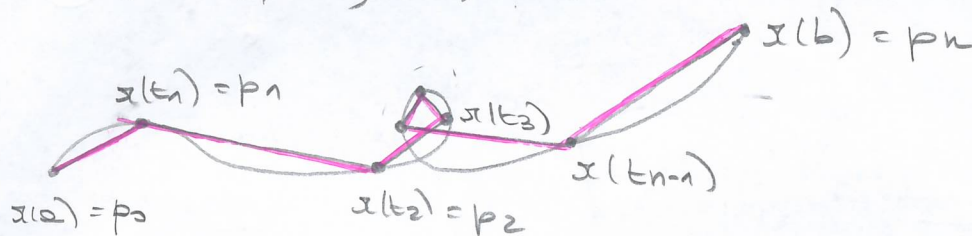
Lunghezza di una curva

Consideriamo una curva continua $x: [a, b] \rightarrow \mathbb{R}^n$.

Ad ogni partizione di $[a, b]$

$$a = t_0 < t_1 < \dots < t_n = b$$

possiamo associare un poligono P inscritto nelle curve di vertici $x(a), x(t_1), \dots, x(b)$.



La lunghezza dello poligono P è data

$$l(P) = \sum_{i=1}^n |x(t_i) - x(t_{i-1})|$$

È naturale allora definire lunghezza d' un arco d' curva continua $x: [a, b] \rightarrow \mathbb{R}^n$ il numero

$$L(x) = \sup_P l(P)$$

dove P varia tra tutte le possibili poligoni inscritti nella curva.

Def: Se tale estremo superiore $L(x)$ è finito d'romo che la curva (x, y) è rettificabile e la sua lunghezza è $L(x)$.

Esistono curve non settificabili

Esempio (di curva non settificabile).

Sia $x: [0, 1] \rightarrow \mathbb{R}$

$$t \mapsto (x(t), y(t)) \quad \text{dove}$$

$$\begin{cases} (t, g(t)) = x(t) \\ g(t) = t^2 \cos(\frac{\pi}{t^2}) \quad t > 0 \\ g(0) = 0 \quad t = 0 \end{cases}$$

$x(0) = (1, 0)$ \Rightarrow x non è settificabile
è derivabile ino ma non
è C^1 ovunque...

$$x(t) = t$$

$$e \quad y(t) = \begin{cases} 0 & x t = 0 \\ t \cdot \sin \frac{\pi}{2t} & x t \neq 0 \end{cases}$$

\Rightarrow non è di classe C^1

(non è probabilmente derivabile ino)

$$\dot{y}(t) = \sin \frac{\pi}{2t} - \underbrace{\frac{\pi}{2t} \cdot \cos \left(\frac{\pi}{2t} \right)}_{\text{per } t \rightarrow 0 \text{ } y(t) \text{ oscilla sempre più}}.$$

per $t \rightarrow 0$ $y(t)$ oscilla sempre più
bruscamente

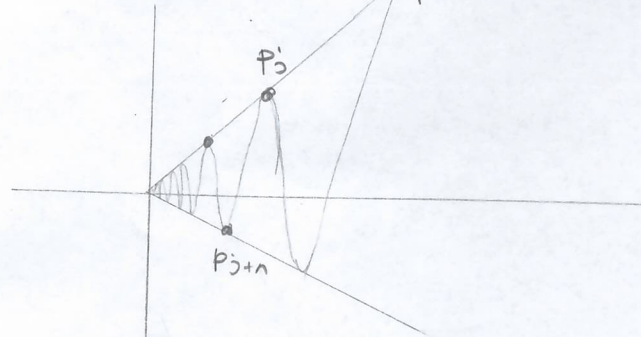
Fissiamo n e consideriamo le suddivisioni

$$D_n = \left\{ 0, \frac{1}{2n+1}, \frac{1}{2n-1}, \dots, \frac{1}{5}, \frac{1}{3}, 1 \right\}$$

Poiché $\sin \left(\left(j - \frac{1}{2} \right) \frac{\pi}{2} \right) = (-1)^{j+1}$ con $j = 1, \dots, n+1$

allora i punti delle perigonale P_n

$$P_j = \left(\frac{1}{2j-1}, (-1)^{j+1} \frac{1}{2j-1} \right) \text{ e l'origine}$$



$$\sin \left(\frac{\pi}{2 \left(\frac{1}{2j-1} \right)} \right) = \sin \left(\frac{\pi (2j-1)}{2} \right) = \sin \left(\pi \left(j - \frac{1}{2} \right) \right)$$

Allora per $j > 1$ valgono

$$\begin{aligned} |P_{j+1} - P_j| &= \sqrt{\left(\frac{1}{2j+1} - \frac{1}{2j} \right)^2 + \left(\frac{1}{2j+1} + \frac{1}{2j-1} \right)^2} = \\ &= \sqrt{\left(\frac{-2}{4j^2-1} \right)^2 + \left(\frac{4j}{4j^2-1} \right)^2} \geq \sqrt{\left(\frac{4j}{4j^2-1} \right)^2} = \sqrt{\left(\frac{4}{4j-1/5} \right)^2} \geq \end{aligned}$$

$$\geq \frac{4}{4j} = \frac{1}{j}$$

Quindi sommando su j ottengo che $\ell(P_n) \geq \sum_{j=1}^n \frac{1}{j}$

\Rightarrow termine generale
serie armonica

Poiché la serie armonica è divergente segue che $e(Q_n) \rightarrow +\infty$ per $n \rightarrow +\infty$. ed essendo $L(x) > L(Q_n)$ allora $L(x)$ non è rettificabile.

Teorema (di rettificabilità delle curve C^1)

Se $x: [a,b] \rightarrow \mathbb{R}^n$ è una curva di classe C^1 allora è rettificabile e la sua lunghezza $L(x)$ è data dall'integrale

$$L(x) = \int_a^b |x'(t)| dt$$

dim: • Facciamo vedere che $L(x) \leq \int_a^b |x'(s)| ds$

Consideriamo una porzione inscritta nella curva (x, j) e associata alla partizione

$a = t_0 < t_1 < \dots < t_n = b$ \rightarrow teor. fond. calcolo integri.

$$e(Q_n) = \sum_{i=1}^n |x(t_i) - x(t_{i-1})| = \sum_{i=1}^n \left| \int_{t_{i-1}}^{t_i} x'(s) ds \right| \leq$$

(dove $\int_{t_{i-1}}^{t_i} x'(s) ds = \left(\int_{t_{i-1}}^{t_i} x_1(s) ds, \dots, \int_{t_{i-1}}^{t_i} x_n(s) ds \right)$)

$$\leq \sum_{i=1}^n \int_{t_{i-1}}^{t_i} |x'(s)| ds = \underbrace{\int_a^b |x'(s)| ds}_{\rightarrow \text{indip. delle partizioni}}$$

\rightarrow indip. delle partizioni

Possendo all'odromo superiore su tutte le partizioni ha che

$$L(x) \leq \int_a^b |x'(s)| ds.$$

• Facciamo vedere che

$$\int_a^b |x'(s)| ds \leq L(x)$$

(Ricordiamo che per il teorema di Heine-Gantner se $g: [a,b] \rightarrow \mathbb{R}$ è continua allora è uniformemente continua.)

Quindi essendo x' uniformemente continua su $[a,b]$

$$(UC) \forall \varepsilon > 0 \quad \exists \delta = \delta(\varepsilon) \text{ t.c. } |t-s| < \delta \text{ t.c. } |x'(t) - x'(s)| < \varepsilon$$

Consideriamo una partizione di $[a,b]$ in intervallini d'ampiezza inferiore a δ e se P è la porzione associata a tale partizione

Fissiamo un intervallino $[t_{i-1}, t_i]$ e se $\sigma \in [t_{i-1}, t_i]$
allora si ha (va inteso componente per componente)

$$\begin{aligned} \dot{x}(t) - \dot{x}(t_{i-1}) &= \int_{t_{i-1}}^{t_i} \dot{x}(t) dt = \int_{t_{i-1}}^{t_i} (\dot{x}(t) - \dot{x}(\sigma)) dt + \int_{t_{i-1}}^{t_i} \dot{x}(\sigma) dt \\ &= \int_{t_{i-1}}^{t_i} (\dot{x}(t) - \dot{x}(\sigma)) dt + \dot{x}(\sigma) \cdot (t_i - t_{i-1}) \end{aligned}$$

Da cui passando ai moduli e per le reg. buongiore

$$|\dot{x}(\sigma)| (t_i - t_{i-1}) \leq |\dot{x}(t_i) - \dot{x}(t_{i-1})| + \left| \int_{t_{i-1}}^{t_i} (\dot{x}(t) - \dot{x}(\sigma)) dt \right| \leq$$

Usando l'uniforme continuità (uc)

$$\leq |\dot{x}(t_i) - \dot{x}(t_{i-1})| + \varepsilon (t_i - t_{i-1}), \quad \text{da cui}$$

$$|\dot{x}(\sigma)| \leq \frac{|\dot{x}(t_i) - \dot{x}(t_{i-1})|}{t_i - t_{i-1}} + \varepsilon \quad (*)$$

Integrando (*) per $\sigma \in [t_{i-1}, t_i]$ trovo

$$\begin{aligned} \int_{t_{i-1}}^{t_i} |\dot{x}(\sigma)| ds &\leq \int_{t_{i-1}}^{t_i} \frac{|\dot{x}(t_i) - \dot{x}(t_{i-1})|}{t_i - t_{i-1}} ds + \varepsilon (t_i - t_{i-1}) \\ &= |\dot{x}(t_i) - \dot{x}(t_{i-1})| + \varepsilon (t_i - t_{i-1}) \quad (***) \end{aligned}$$

Sommendo per $i = 1, \dots, n$

$$\begin{aligned} \int_a^b |\dot{x}(\sigma)| ds - \sum_{i=1}^n \int_{t_{i-1}}^{t_i} |\dot{x}(\sigma)| ds &\stackrel{(***)}{\leq} \\ &\leq \sum_{i=1}^n |\dot{x}(t_i) - \dot{x}(t_{i-1})| + \varepsilon (b-a) = \\ &= \varepsilon (P_n) + \varepsilon (b-a) \leq L(x) + \varepsilon (b-a) \end{aligned}$$

Per l'arbitrarietà di ε segue la tesi



Oss 1 A meno che x non sia iniettiva, le formule del teorema precedente non dà informazioni sulle misure del mezzo. Ad esempio:

$$\varphi(t) = (\cos t, \sin t) \quad t \in [0, 2\pi] \quad \text{e}$$

$$\psi(t) = (\cos 2t, \sin 2t) \quad t \in [0, \frac{3}{2}\pi] \rightarrow \text{non iniettiva}$$

$$L(\varphi) = 2\pi \neq 3\pi = L(\psi) \quad \text{pur avendo } \varphi \neq \psi$$

Lo stesso mezzo.

Oss 2 → vedi dopo.

Ese: Calcolare la lunghezza dell'elica cilindrica

$$x: [0, 2\pi] \rightarrow \mathbb{R}^3$$

$$t \mapsto (R \cos t, R \sin t, ct)$$

$$\dot{x}(t) = (-R \sin t, R \cos t, c)$$

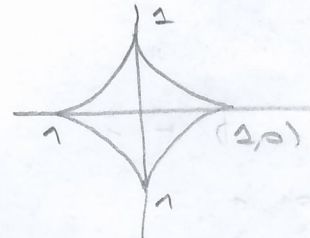
$$|\dot{x}(t)| = \sqrt{R^2 (\sin t)^2 + R^2 (\cos t)^2 + c^2} = \sqrt{R^2 + c^2}$$

$$\text{da cui } L(x) = \int_0^{2\pi} \sqrt{R^2 + c^2} dt = 2\pi \sqrt{R^2 + c^2}$$

Ese: Calcolare la lunghezza dell'ossoide

$$x: [0, 2\pi] \rightarrow \mathbb{R}^2$$

$$t \mapsto (\cos^3 t, \sin^3 t)$$



$$\dot{x}(t) = (-3 \cos^2 t \sin t, 3 \sin^2 t \cos t)$$

$$|\dot{x}(t)| = \sqrt{9 \cos^4 t \sin^2 t + 9 \sin^4 t \cos^2 t} =$$

$$= \sqrt{9 \cos^2 t \cdot \sin^2 t (\cos^2 t + \sin^2 t)} =$$

$$= 3 |\cos t \cdot \sin t|$$

$$L(x) = \int_0^{2\pi} 3 |\cos t \sin t| dt = \frac{3}{2} \int_0^{2\pi} |\sin 2t| dt =$$

$$= ⑧ \cdot \frac{3}{2} \int_0^{\pi/4} \sin 2t dt = 12 \left[-\frac{1}{2} \cos(2t) \right]_0^{\pi/4} = 6$$

$$\begin{array}{c} \sqrt{2} \sqrt{3} \sqrt{4} \sqrt{5} \sqrt{6} \sqrt{7} \sqrt{8} \\ \frac{\pi}{4} \quad \frac{3\pi}{4} \end{array}$$

- Lunghezza di una curva in forma cartesiana

$r: [a, b] \rightarrow \mathbb{R}^2$ con $f \in C^1(I)$

$$t \mapsto (t, f(t))$$

è una curva regolare ($f \in C^1(I)$ e $\dot{x}(t) = (1, \dot{f}(t))$) e semplice ($x(t) = t$ è iniettiva).

$$|\dot{x}(t)| = \sqrt{1 + |\dot{f}(t)|^2}$$

$$L(x) = \int_a^b \sqrt{1 + |\dot{f}(t)|^2} dt$$

- Lunghezza di una curva in forma polare.

$\gamma: [\theta_0, \theta_1] \rightarrow \mathbb{R}^2$

$$\theta \mapsto (g(\theta) \cos(\theta), g(\theta) \sin(\theta))$$

con $g: [\theta_0, \theta_1] \rightarrow \mathbb{R}$ classe C^1

$$\theta \mapsto g(\theta)$$

$$|\dot{\gamma}(\theta)| = \sqrt{g^2(\theta) + g'^2(\theta)}$$

$$L(\gamma) = \int_{\theta_0}^{\theta_1} \sqrt{g^2(\theta) + g'^2(\theta)} d\theta$$

Oss 2: La rettificabilità di una curva dipende dalla parametrizzazione.

Consideriamo

$\pi: [0, 1] \rightarrow \mathbb{R}^2$

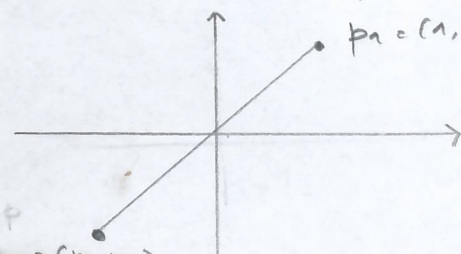
$$t \mapsto (x(t), y(t)) \text{ con}$$

$$x(t) = y(t) = \begin{cases} 0 & \text{se } t=0 \\ t \cdot \sin\left(\frac{\pi}{2t}\right) & \text{se } t \neq 0 \end{cases}$$

$\lim_{t \rightarrow 0} x(t) = 0$ quindi $x(t)$ è continua su $[0, 1]$ \Rightarrow ommette

\max e \min . Sia $m = \min_{t \in [0, 1]} x(t)$, definiamo

$p_0 = (m, m)$ e $p_1 = (1, 1)$ allora il sostegno di π è



il segmento di estremi p_0 e p_1

\rightarrow Con questa parametrizzazione è compreso un oscillazione verso l'origine.

Con gli stessi ragionamenti fatti per l'esempio d'curve non rettificabili si può dimostrare che se non è rettificabile.

Mentre se lo parametrizzarsi in "maniera standard"

$$\tilde{\alpha}: [m, \bar{t}] \rightarrow \mathbb{R}^2$$

$$t \mapsto (\tilde{t}, \tilde{t})$$

allora ovviamente sarebbe rettificabile.

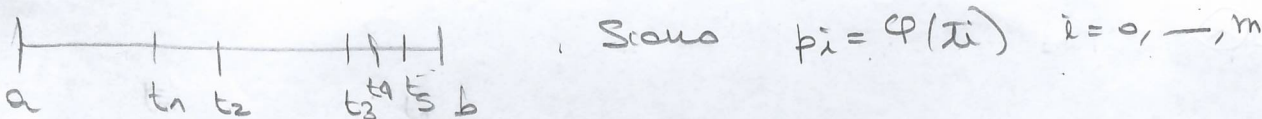
Ez. Se $\alpha: [a; b] \rightarrow \mathbb{R}^n$ una param. continua e se α è rettificabile.

Per vedere che $L(\alpha) = \lim_{n \rightarrow +\infty} P_n$ dove P_n è una poligonaletta inscritta nelle curve ottenuta suddividendo $[a; b]$ in n pezzi uguali.

d.m.: Fissato un $\varepsilon > 0$ per definizione di sopra trovo una poligonaletta P tale che

$$(S) \quad L(\alpha) < P + \varepsilon \quad \text{e se } P \text{ individua}$$

della suddivisione $a = t_0 < t_1 < \dots < t_m = b$



Osservo che ϕ è uniformemente continua perché continua su un compatto, allora

$$(U.C) \quad \forall \varepsilon \quad \exists \delta = \delta(\varepsilon) \text{ t.c. se } |\alpha_1 - \alpha_2| < \delta \text{ allora } |\phi(\alpha_1) - \phi(\alpha_2)| < \varepsilon$$

$$\rightarrow \text{seleggo } \tilde{\varepsilon} = \varepsilon/m$$

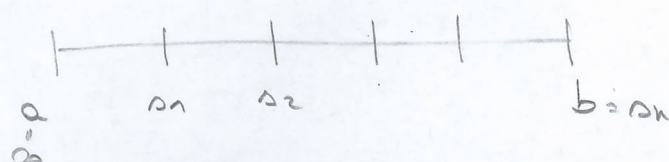
Divido l'intervallo $[a; b]$ in intervalli d'ampiezza minore di $\delta = \delta(\varepsilon/m)$; da cui avrò $\frac{b-a}{n} < \delta$ (*)

Osservo che se (*) vale per un certo n vale ovviamente anche per tutti gli n successivi.

Definisco i punti

$$\bullet \quad \Delta_i = a + \frac{b-a}{n} \cdot i$$

$$i=0, \dots, n$$



$$\bullet \quad q_i = \phi(\Delta_i) \quad i=0, \dots, n$$

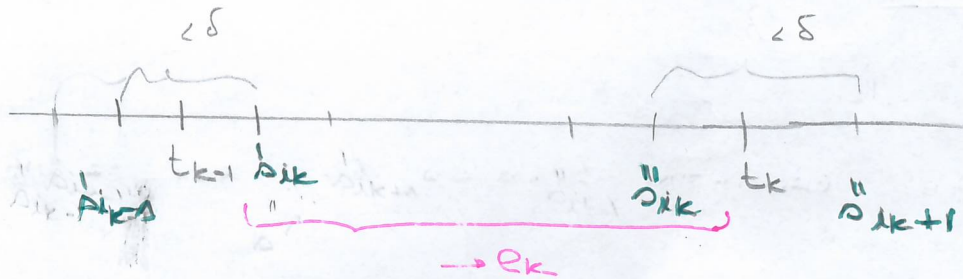
e chiamo Q_n le poligonalte di vertici q_i

Considero un intervallo $[t_{k-1}, t_k]$ della partizione

Ω di perimetro e chiamo

\hat{a}_{ik} il punto dei punti si tale che $t_{k-1} < \hat{a}_{ik} < t_k$

\hat{o}_{ik} l'ultimo dei punti si " " si t_k



Osservo che $|\hat{a}_{ik} - t_{k-1}| < \delta$ (altrimenti \hat{a}_{ik} non sarebbe il primo)

$|\hat{o}_{ik} - t_k| < \delta$ (" " " \hat{o}_{ik} " " " " l'ultimo)

Se non "cadono" punti di tipo si in $[t_{k-1}, t_k]$ meglio significa che i t_k sono già suff. vicini

Chiamo e_k la lunghezza dello poligonoale Q_n relativa all'intervallo $[\hat{a}_{ik}, \hat{o}_{ik}]$. Allora si ha che

→ diag. triangolare

$$|p_k - p_{k-1}| = |\varphi(t_k) - \varphi(t_{k-1})| \leq |\varphi(t_k) - \varphi(\hat{a}_{ik})| + \frac{\varepsilon}{m}$$

$$+ |\varphi(\hat{a}_{ik}) - \varphi(\hat{o}_{ik+1})| + \dots + |\varphi(\hat{o}_{k-1}) - \varphi(\hat{o}_{ik})| +$$

$= e_k$ → uniform. cont. → (U.C.)

$$+ |\varphi(t_{k+1}) - \varphi(\hat{o}_{ik})| \leq \frac{\varepsilon}{m} + e_k + \frac{\varepsilon}{m} = e_k + \frac{2\varepsilon}{m}$$

Quindi $|p_k - p_{k-1}| \leq e_k + \frac{2\varepsilon}{m}$

Sommo su $k=1, \dots, m$ e lavoro.

$$e(Q) = \sum_{k=1}^m |p_k - p_{k-1}| \leq \sum_{k=1}^m e_k + \frac{2\varepsilon}{m}$$

e non " " " passa over l'intervallo fuori

da (S) deduco che

→ i contributi del tipo $(\hat{o}_{k-1}, \hat{a}_{ik})$ e $(\hat{o}_{ik}, \hat{o}_{ik+1})$

$$L(x) - \varepsilon \leq \sum_{k=1}^m e_k + 2\varepsilon \leq e(Q_n) + 2\varepsilon$$

Da cui $L(x) - 3\varepsilon \leq e(Q_n) \leftarrow$ vale $\forall n$ tc. $n > \frac{b-a}{\delta}$

Quindi $4\varepsilon = (2\varepsilon)$ $\exists \bar{n} = \left[\frac{b-a}{\delta} \right] + 2$ tc. $\forall n > \bar{n}$ $|e(Q_n) - L(x)| < \varepsilon$

Proprietà

Siano $\gamma_1: [a,b] \rightarrow \mathbb{R}^n$ e $\gamma_2: [c,d] \rightarrow \mathbb{R}^n$ due curve regolari.

Se γ_1 ed γ_2 sono curve equivalenti allora $\ell(\gamma_1) = \ell(\gamma_2)$.

dim: \rightarrow ex.

Additività delle curve

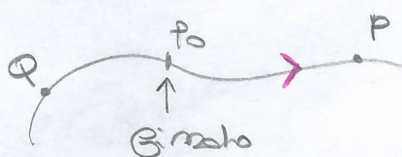
Consideriamo due curve $\gamma_1: [a,b] \rightarrow \mathbb{R}^n$ e $\gamma_2: [b,c] \rightarrow \mathbb{R}^n$ tali che $\gamma_1(b) = \gamma_2(b)$ (condizione d'accordo). Si può definire unione di γ_1 e γ_2 la curva $\gamma = \gamma_1 \cup \gamma_2$ di equazione $\gamma: [a,c] \rightarrow \mathbb{R}^n$ definita da

$$\gamma(t) = \begin{cases} \gamma_1(t), & t \in [a,b] \\ \gamma_2(t), & t \in [b,c] \end{cases}$$

Se γ_1 e γ_2 sono regolari allora γ è in genere regolare a bratti, se anche $\dot{\gamma}_1(b) = \dot{\gamma}_2(b)$ allora γ è regolare.

Arcata curvilinea

Consideriamo una curva semplice e regolare $\varphi: [a,b] \rightarrow \mathbb{R}^n$ punto fix $P_0 \in \Gamma =$ sostegno di



$P \in \Gamma \iff \rho(P) =$ arcata curvilinea
(P precede P_0) $=$ lunghezza dell'arco
d'arco tra P_0 e P

$Q \in \Gamma \iff \rho(Q) =$ lunghezza
(Q precede P_0) dell'arco d'arco tra
 Q e P_0

Cos'è la funzione tra i punti in Γ e i punti in
l'intervallo $[a,b]$?
Come definire ρ a partire da φ ?

Fissa $t_0 \in [a,b]$ e definisco

$$\rho(t) = \int_{t_0}^t |\varphi'(s)| ds \quad \forall t \in [a,b]$$

ρ è derivabile, e $\rho'(t) > 0 \quad \forall t$, quindi realizza una
corrispondenza biunivoca

$$\text{se } t_0 = a \Rightarrow [0; L]$$

$$\rho: [a,b] \rightarrow [\rho(a), \rho(b)]$$

Sia $t = t(s)$ la funzione inversa di $\rho = \rho(t)$, allora

si ha che $\dot{t}(s) = \varphi'(t(s))$ e inoltre $t: [\rho(a), \rho(b)] \rightarrow [a,b]$
lunghezza

$$\text{inoltre } \dot{\gamma}(t) = \dot{\varphi}(t(\tau)) \cdot \dot{t}(\tau) = \dot{\varphi}(t(\tau)) \cdot \frac{\wedge}{\dot{t}(\tau)} \quad \text{⑦}$$

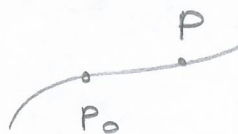
desv.
inversa

$$\dot{\gamma}(t) = |\dot{\varphi}(t)|$$

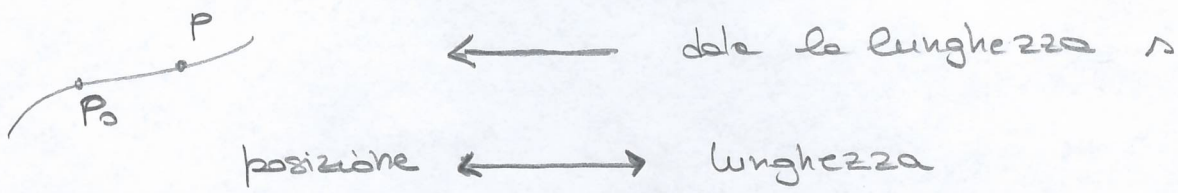
$$\textcircled{e} \quad \frac{\dot{\varphi}(t(\tau))}{|\dot{\varphi}(t(\tau))|} \Rightarrow |\dot{\varphi}(t)| = 1 \quad \text{⑧}$$

Definisce un sistema di coordinate su Γ

dato P



$\rightarrow \tau = \text{coordinate di } P$



Ex. Determinare se $\varphi: \mathbb{R} \rightarrow \mathbb{R}^3$

$$t \mapsto (\cos t, \sin t, 3t)$$

è parametrizzata rispetto le lunghezze d'arco?

$$\varphi(t) = (-\sin t, \cos t, 3)$$

$$|\varphi(t)| = \sqrt{\sin^2 t + \cos^2 t + 9} = \sqrt{10} \neq 1$$

Allora col $t_0 = 0$

$$s(t) = \int_0^t \sqrt{10} dt = \sqrt{10} t \quad t(\tau) = \frac{\tau}{\sqrt{10}}$$

DNS non è basato
sopra lunghezze d'arco.

$$(\varphi \circ t)(\tau) = \left(\cos\left(\frac{\tau}{\sqrt{10}}\right), \sin\left(\frac{\tau}{\sqrt{10}}\right), 3 \cdot \frac{\tau}{\sqrt{10}} \right).$$

- - - -

Digressione

Sia $f: [a,b] \rightarrow \mathbb{R}$

Def: Diciamo che f è variazione limitata su $[a,b]$ se le seguenti quantità, detta variazione totale, soddisfano

$$V_a^b(f) = \sup_Q \sum_{i=1}^k |f(t_i) - f(t_{i-1})| < +\infty$$

L'insieme delle funzioni che soddisfano questa condizione, cioè a variazione totale finita, si indica con BV[a,b] (dell'inglese bounded variation).

Ora: Una curva lecione parametrizzata

$$\pi: [a, b] \rightarrow \mathbb{R}^2$$

$$t \mapsto (t, f(t))$$

con $f \in BV([a, b])$ è settigabile.

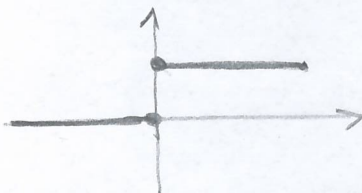
Ora: Vale la seguente catena di inclusioni

$$C^1([a, b]) \subset Lip([a, b]) \subset BV([a, b]).$$

Oss: C'è qualche relazione tra le funzioni continue e le funzioni $BV([a, b])$.

- $BV([a, b]) \subset C^0([a, b]) \rightarrow$ no

basti pensare ad una funzione con un salto, è BV
ma non continua



- $C^0([a, b]) \subset BV([a, b]) \rightarrow$ no

$$\begin{cases} f(t) = t \cdot \sin\left(\frac{\pi}{t}\right) & t > 0 \\ f(t) = 0 & t = 0 \end{cases}$$

è continua ma non BV .